

ЭКСПЕРИМЕНТАЛЬНЫЕ ИССЛЕДОВАНИЯ СТРУКТУРЫ ПОТОКА ГАЗА В ОБРАТНОМ НАПРАВЛЯЮЩЕМ АППАРАТЕ ЦЕНТРОБЕЖНОГО КОМПРЕССОРА

А.Н. Калашников¹

Приведено описание модели обратного направляющего аппарата центробежного компрессора и показаны некоторые результаты экспериментальных исследований.

ВВЕДЕНИЕ

В состав промежуточной ступени центробежного компрессора помимо рабочего колеса и диффузора входит обратный направляющий аппарат. При течении газа в ОНА существенно изменяется направление его движения - на 270° в меридиональной плоскости и примерно на 60° в радиальной. Вследствие этого структура потока имеет сложный пространственный характер [1, 2, 3, 4]. Согласно [3] в среднем на оптимальном режиме работы компрессора в ОНА теряется около 5% от энергии, затрачиваемой на вращение рабочего колеса компрессора. Снижение значений коэффициентов потерь ОНА позволит повысить к.п.д. центробежных компрессоров, т. е. уменьшить энергозатраты.

Проведенный литературный поиск подтвердил, что данные представленные по поворотному колену и лопаточной решетки ОНА, практически во всех работах ограничиваются входом и выходом из этого аппарата, данные о структуре потока по длине лопаток и ширине канала отсутствуют. Большая часть экспериментальных исследований относится к ОНА с лопatkами постоянной толщины со средней линией, выполненной по дуге окружности, но в настоящее время в ОНА с лопатками постоянной толщины не применяются из-за их низкой эффективности по сравнению с лопатками переменной толщины. Структура течения газа в ОНА с лопатками переменной толщины изучена не достаточно и необходимо более тщательное исследование элементов ОНА (поворотного колена и лопаточной решетки).

ПОСТАНОВКА ЗАДАЧИ

Целью проведения экспериментального исследования течения газа в модели обратного направляющего аппарата центробежного компрессора на аэродинамическом стенде является получение информации о структуре потока в поворотном колене и лопаточной решетке ОНА. Полученные экспериментальные данные используются при разработке методики расчета, учитывающей неравномерность параметров потока газа на входе в элементы ОНА, а также реальные термодинамические свойства сжимаемого газа.

РЕЗУЛЬТАТЫ ИССЛЕДОВАНИЙ

Для проведения опытов по исследованию структуры потока газа в ОНА лопаточного типа, определения газодинамических характеристик, в том числе показателей эффективности ОНА, была спроектирована и изготовлена экспериментальная установка, которая была установлена на аэродинамическом стенде в Сумском государственном университете [5].

Схема аэродинамического стенда представлена на рисунке 1. Стенд работает по открытой схеме, рабочая среда – воздух. Стенд состоит из: всасывающего трубопровода 1, сопла Вентури 2, центробежного вентилятора 3, который приводится в движение электродвигателем 4,

¹ Ассистент, Сумський державний університет.

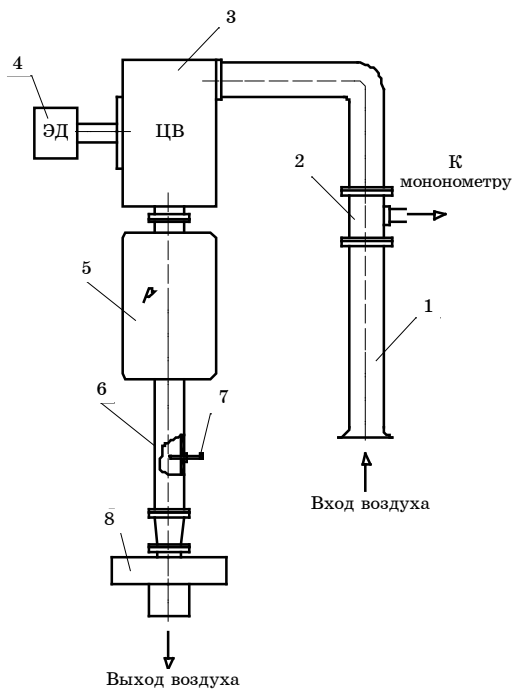


Рисунок 1 – Схема аэродинамического стенда

буферной емкости (ресивера) 5, нагнетательного трубопровода 6. Сопло Вентури, используемое для измерения расхода воздуха, установлено во всасывающем трубопроводе. Воздух после сопла Вентури поступает в высоконапорный вентилятор. Высоконапорный центробежный вентилятор типа ВЦ14-46-2А приводится во вращение балансирным электродвигателем постоянного тока мощностью 69 кВт и частотой вращения до 5000 об/мин. На пульте управления стендом расположен реостат для изменения частоты вращения ротора центробежного вентилятора, что позволяет регулировать расход подаваемого в модель ОНА воздуха. Максимальный расход воздуха, который можно получить на стенде равен $Q_{\max} = 8000 \text{ м}^3/\text{час} = 2,222 \text{ м}^3/\text{с}$. При этом значение абсолютной скорости в нагнетательном трубопроводе достигает $V_{\max} = 100 \text{ м/сек.}$

Буферная емкость (ресивер) 5, предназначена для гашения пульсаций давления на выходе из центробежного вентилятора. Из буферной емкости воздух по нагнетательному трубопроводу 6 поступает в модель ОНА 8. В нагнетательном трубопроводе расположен узел измерения статического и полного давления 7, при помощи которого можно определять расход воздуха и его плотность на входе в модель ОНА. В данной работе исследовался ОНА, состоящий из трех элементов: поворотного колена (ПК), круговой решетки неподвижных лопаток и кольцевого колена. Схема экспериментальной модели ОНА представлена на рисунке 2, а ее внешний вид – на рисунке 3.

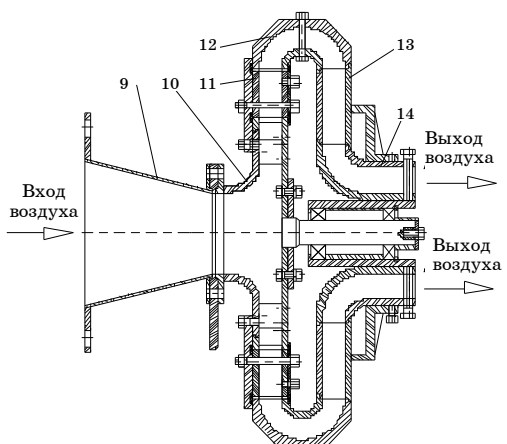


Рисунок 2 - Схема экспериментальной модели ОНА



Рисунок 3 – Внешний вид экспериментальной модели ОНА

Конфузор 9 предназначен для повышения скорости потока газа в экспериментальной установке. После конфузора воздух поступает в закручивающее устройство 10, в котором он меняет направление из осевого на радиальное. Лопатки закручивающего устройства – двухрядные, что позволяет за счет поворота лопаток второго ряда изменять направление потока газа в диапазоне $\alpha_2=10^\circ - 40^\circ$. Количество лопаток первого и второго ряда одинаково и равно 20 шт. Лопатки имеют постоянную толщину 4 мм, а входные и выходные кромки скруглены по радиусу 2 мм.

Внешний вид модели ОНА показан со стороны выхода воздуха.

Конструктивные характеристики экспериментальной модели:

Тип компрессора	Центробежный
Диаметр входного патрубка, мм	100
Диаметр D_1 , мм	170
Диаметр D_2 , мм	var
Диаметр D_3 , мм	284
Ширина проточной части $b_3=b_4=b_5=b_6$, мм	25
Количество лопаток $z_2=z_3$	20
Диаметр $D_4=D_5$, мм	400
Диаметр D_6 , мм	212
Количество лопаток $z_5=z_6$	19

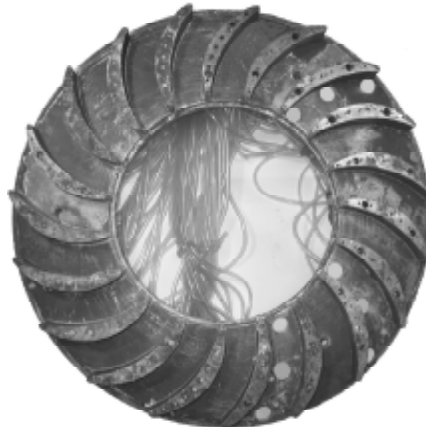


Рисунок 4 - Лопаточная решетка
ОНА

Устанавливаемый за закручивающим устройством диффузор 11 может быть выполнен как в безлопаточном (БЛД), так и в лопаточном (ЛД) исполнении. После диффузора воздух поступает в поворотное колено 12. Поворотные колена, которые использовались при проведении эксперимента, были трех типов: постоянного сечения $b_5/b_4=1$; сужающиеся $b_5/b_4=0,6$; расширяющиеся $b_5/b_4=1,4$. Изменение отношения b_5/b_4 обеспечивалось за счет установки в исследуемой модели различных внутренних проставок.

Из ПК 12 воздух поступает в лопаточную решетку ОНА 13, а затем в выходной патрубок 14. Лопаточная решетка ОНА имеет параллельные стенки, межлопаточные каналы ОНА спрофилированы по линейному закону изменения среднерасходной скорости (рис.4). В поворотном колене и лопаточной решетке ОНА – выполнены отверстия, позволяющие измерять полные и статические давления. Отверстия расположены на периферийной и внутренней поверхности поворотного колена, а также на внешнем диске лопаточной решетки. Отбор статических давлений производится также на вогнутой и выпуклой поверхностях лопаток ОНА.

Схемы расположения отверстий для отбора статических и полных давлений в ПК, на лопатках ОНА и в межлопаточном пространстве ОНА

представлены в работе [5]. Измерения статических и полных давлений выполнялись при разных углах установки лопаток закручивающего устройства и при разных расходах воздуха в установке.

На рисунках 5 - 7 показаны некоторые результаты измерений статических и полных давлений в поворотном колене и лопаточной решетке модели ОНА. В работе [5] представлены результаты исследований для большего числа режимов течения.

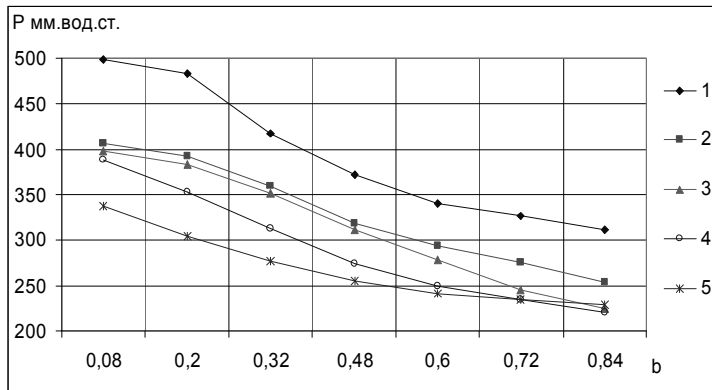


Рисунок 5 - Распределение полных давлений по ширине канала в поворотном колене (ПК) модели с углом закрутки потока $\alpha_2 = 22^0$ и массовым расходом $m = 1,372 \text{ кг/с}$

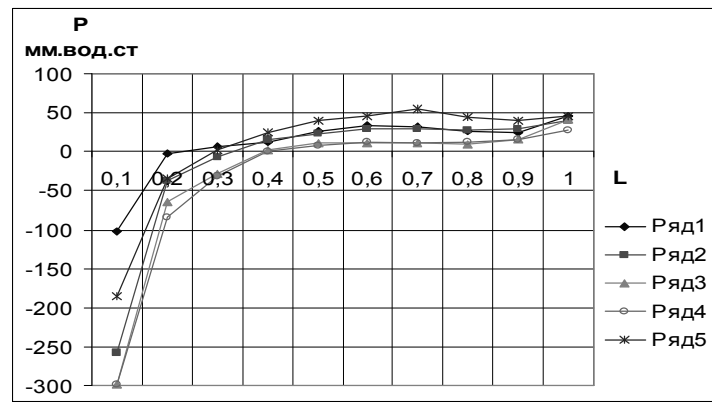
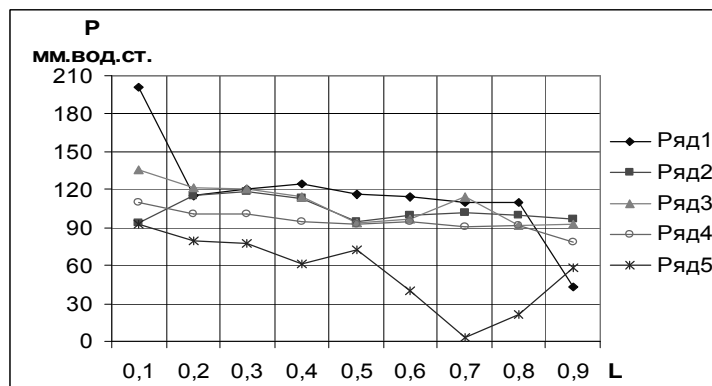


Рисунок 6 - Распределение статических давлений на вогнутой и на выпуклой стороне лопатки ОНА для варианта с углом закрутки потока $\alpha_2 = 22^0$ и массовым расходом $m = 1,014 \text{ кг/с}$

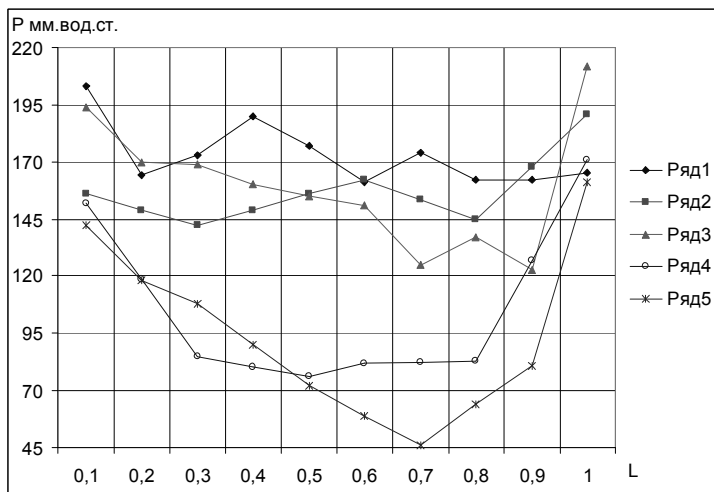


Рисунок 7 - Распределение статических давлений на наружной стенке лопаточной решетки ОНА для варианта с углом закрутки $\alpha_2 = 40^\circ$ и массовым расходом $m = 1,322 \text{ кг/с}$

ВЫВОДЫ

Полученные экспериментальные данные позволяют определить распределения давлений и скоростей потока вдоль внутренней и наружной поверхностей поворотного колена, а также для выпуклой и вогнутой поверхностей лопаточной решетки. Данные о структуре потока использованы при разработке методики расчета течения газа в ОНА и компьютерной модели для выполнения расчетов. При разработке методики следует учитывать неизоэнталпийность течения газа в ОНА.

SUMMARY

The description of model of the return directing device of the centrifugal compressor is given and some results of experimental researches are shown.

СПИСОК ЛИТЕРАТУРЫ

- Галеркин Ю.Б., Рекстин Ф.С. Методы исследования центробежных компрессорных машин. - Л.: Машиностроение, 1969. - 304с.
- Селезнев К.П., Галеркин Ю.Б. Центробежные компрессоры. - Л.: Машиностроение, 1982. - 272 с.
- Рис В.Ф. Центробежные компрессоры машины. - Л.: Машиностроение, 1981.-351 с.
- Ден Г.Н. Проектирование проточной части центробежных компрессоров: Термогазодинамические расчеты. - Л.: Машиностроение, 1990. - 232 с.
- Калашников А.Н., Калинкевич Н.В. К вопросу о проектировании обратно-направляющих аппаратов центробежных компрессоров// Вестник Национального технического университета Украины. - 2002. - Т.2.- С.158-160.
- «Экспериментальные исследования обратно-направляющих аппаратов центробежных компрессоров». Отчет о НИР, № гос. рег.0107U001281. - Сумы: СумГУ, 2007.

Поступила в редакцию 5 декабря 2006 г.